

Elektrische Eigenschaften		Electrical properties	
Höchstzulässige Werte		Maximum rated values	
Periodische Vorwärts- und Rückwärts-SpitzenSperrspannung	repetitive peak forward off-state and reverse voltages	$t_{vj} = -40^\circ\text{C} \dots t_{vj\max}$	$V_{DRM}, V_{RRM}$ 1600, 1800 V 2000* v $V_{DSM} = V_{DRM}$
Vorwärts-Stoßspitzen-Sperrspannung	non repetitive peak forward off-state voltage	$t_{vj} = -40^\circ\text{C} \dots t_{vj\max}$	$V_{RSM} = V_{RRM}$ + 100 v
Rückwärts-Stoßspitzen-Sperrspannung	non repetitive peak reverse voltage	$t_{vj} = +25^\circ\text{C} \dots t_{vj\max}$	
Durchlaßstrom-Grenzeffektivwert	RMS on-state current		$I_{TRMSM}$ 2000 A
Dauergrenzstrom	average on-state current	$t_c = 85^\circ\text{C}$	$I_{TAVM}$ 930 A
		$t_c = 62^\circ\text{C}$	1274 A
Stoßstrom-Grenzwert	surge current	$t_{vj} = 25^\circ\text{C}, t_p = 10 \text{ ms}$	$I_{TSM}$ 20,5 kA
Grenzlastintegral	$I^2t$ -value	$t_{vj} = t_{vj\max}, t_p = 10 \text{ ms}$	18 kA
Kritische Stromsteilheit	critical rate of rise of on-state current	$t_{vj} = 25^\circ\text{C}, t_p = 10 \text{ ms}$	$I^2t$ 2100 kA <sup>2</sup> s
Kritische Spannungssteilheit	critical rate of rise of off-state voltage	$t_{vj} = t_{vj\max}, t_p = 10 \text{ ms}$	1 6 2 0 kA <sup>2</sup> s
		$V_D \leq 67\% V_{DRM}, f = 50 \text{ Hz}$	(di/dt) <sub>cr</sub> 250 A/ $\mu$ s
		$i_{GM} = 1,2 \text{ A}, di_G/dt = 1,2 \text{ A}/\mu\text{s}$	<sup>1)</sup> <sup>2)</sup>
		$t_{vj} = t_{vj\max}, V_D = 67\% V_{DRM}$	(dv/dt) <sub>cr</sub> B: 50 50 V/ $\mu$ s
			C*: 500 500 V/ $\mu$ s
			L: 500 50 V/ $\mu$ s
			M*: 1000 500 V/ $\mu$ s

Charakteristische Werte		Characteristic values	
Durchlaßspannung	on-state voltage	$t_{vj} = t_{vj\max}, i_T = 3500 \text{ A}$	$v_T$ max. 2,7 V
Schleusenspannung	threshold voltage	$t_{vj} = t_{vj\max}$	$V_{T(TO)}$ 1,35 v
Ersatzwiderstand	slope resistance	$t_{vj} = t_{vj\max}$	$r_T$ 0,33 m $\Omega$
Zündstrom	gate trigger current	$t_{vj} = 25^\circ\text{C}, v_D = 12 \text{ V}$	$I_{GT}$ max. 250 mA
Zündspannung	gate trigger voltage	$t_{vj} = 25^\circ\text{C}, v_D = 12 \text{ V}$	$V_{GT}$ max. 2,2 v
Nicht zündender Steuerstrom	gate non-trigger current	$t_{vj} = t_{vj\max}, v_D = 12 \text{ V}$	$I_{GD}$ max. 10 mA
Nicht zündende Steuerspannung	gate non-trigger voltage	$t_{vj} = t_{vj\max}, v_D = 0,5 V_{DRM}$	$V_{GD}$ max. 0,25 v
Haltestrom	holding current	$t_{vj} = 25^\circ\text{C}, v_D = 12 \text{ V}, R_A = 10 \Omega$	$I_H$ max. 300 mA
Einraststrom	latching current	$t_{vj} = 25^\circ\text{C}, v_D = 12 \text{ V}, R_{GK} \geq 10 \Omega$	$I_L$ max. 1,5 A
Vorwärts- u. Rückwärts-Sperrstrom	forward off-state and reverse Currents	$i_{GM} = 1,2 \text{ A}, di_G/dt = 1,2 \text{ A}/\mu\text{s}, t_g = 20 \text{ ps}$	$i_D, i_R$ max. 200 mA
Zündverzug	gate controlled delay time	$t_{vj} = t_{vj\max}, V_D = V_{DRM}, V_R = V_{RRM}$	$t_{gd}$ max. 1,4 $\mu$ s
Freiwerdezeit	circuit commutated turn-off time	$t_{vj} = 25^\circ\text{C}, i_{GM} = 1,2 \text{ A}, di_G/dt = 1,2 \text{ A}/\mu\text{s}$ siehe Techn. Erl./see Techn. Inf.	$t_q$ K: max. 40 $\mu$ s M: max. 50 $\mu$ s N: max. 60 $\mu$ s

Thermische Eigenschaften		thermal properties	
Innerer Wärmewiderstand für beidseitige Kühlung	thermal resistance, junction to case for two-sided cooling	$\Theta = 180^\circ \text{ el, sin}$	$R_{thJC}$ max. 0,021 $^\circ\text{C}/\text{W}$
für anodenseitige Kühlung	for anode-sided cooling	DC	max. 0,02 $^\circ\text{C}/\text{W}$
für kathodenseitige Kühlung	for cathode-sided cooling	$\Theta = 160^\circ \text{ el, sin}$	$R_{thJC(A)}$ max. 0,036 $^\circ\text{C}/\text{W}$
		DC	max. 0,035 $^\circ\text{C}/\text{W}$
Übergangswärmewiderstand	thermal resistance, case to heatsink	$\Theta = 180^\circ \text{ el, sin}$	$R_{thJC(K)}$ max. 0,048 $^\circ\text{C}/\text{W}$
		DC	max. 0,047 $^\circ\text{C}/\text{W}$
Höchstzul. Sperrschiichttemperatur	max. junction temperature	beidseitig/two-sided	$R_{thCK}$ max. 0,004 $^\circ\text{C}/\text{W}$
Betriebstemperatur	Operating temperature	einseitig/one-sided	max. 0,008 $^\circ\text{C}/\text{W}$
Lagertemperatur	storage temperature		$t_{vj\max}$ 125°C $t_{c\text{ op}}$ -40 ... + 125°C $t_{sig}$ -40 ... + 150°C

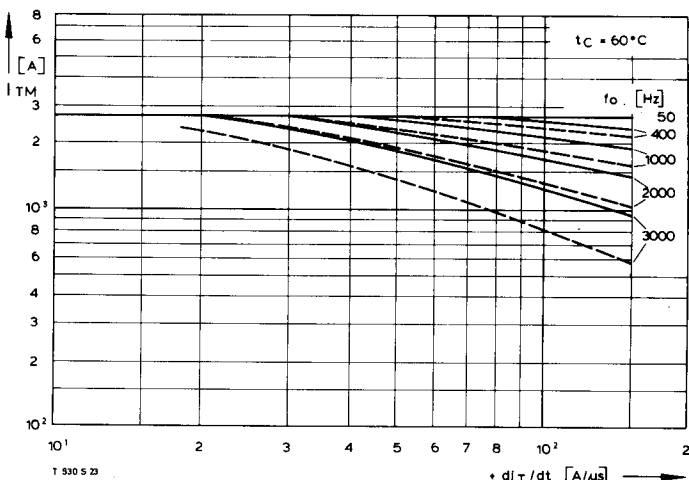
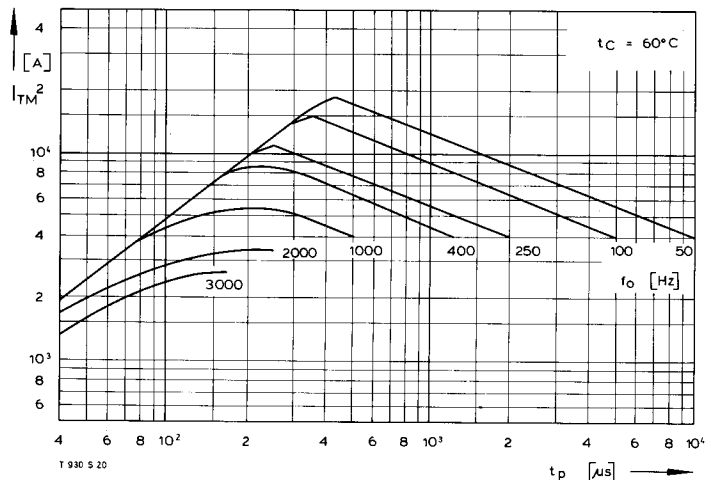
Mechanische Eigenschaften		Mechanical properties	
Si-Element mit Druckkontakt	Si-pellet with pressure contact		
Anpreßkraft	Clamping force		F 16 ... 32 kN
Gewicht	weight		G typ. 600 g
Kriechstrecke	Creepage distance		30 mm
Feuchtekategorie	humidity classification	DIN 40040	C
Schwingfestigkeit	Vibration resistance	f = 50 Hz	50 m/s <sup>2</sup>
Maßbild	outline	DIN 41814-155B4	Seite/page 155

\* Für größere Stückzahlen bitte Liefertermin erfragen/Delivery for larger quantities on request

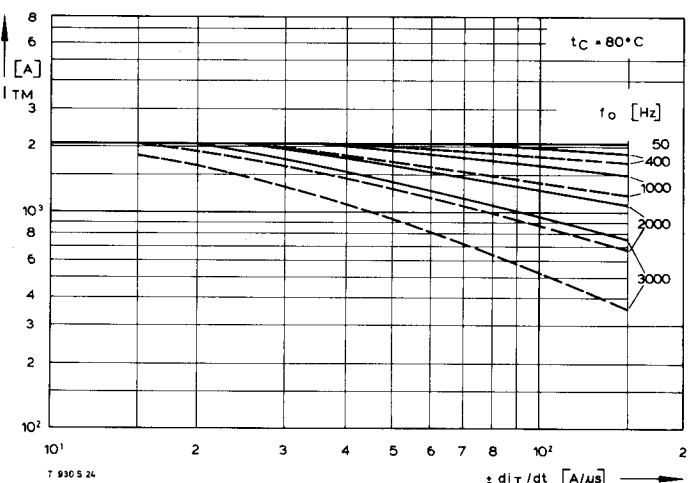
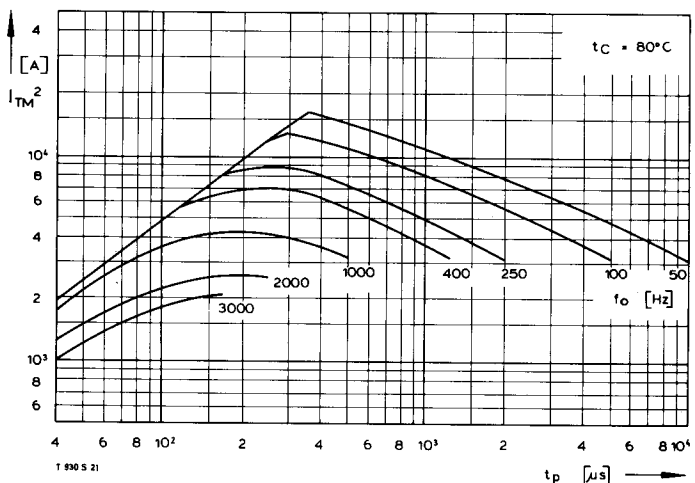
1) Werte nach DIN IEC 747-6 (ohne vorausgehende Kommutierung)/Values to DIN IEC 747-6 (without prior commutation)

2) Unmittelbar nach der Freiwerdezeit, vgl. Meßbedingungen für  $t_q$ /Immediately after circuit commutated turn-off time, see Parameters  $t_q$

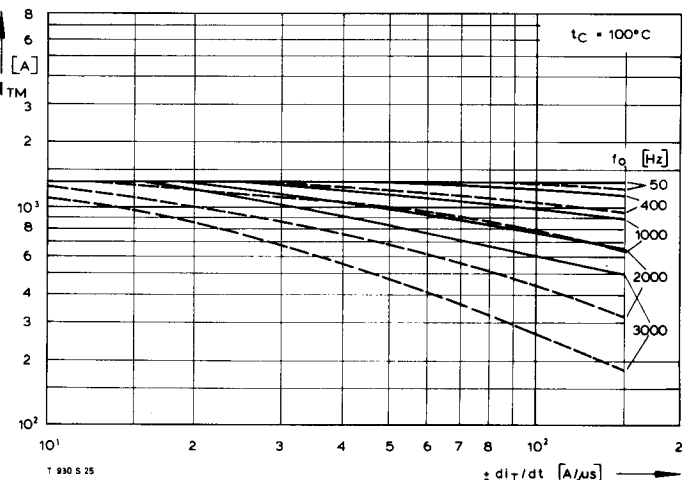
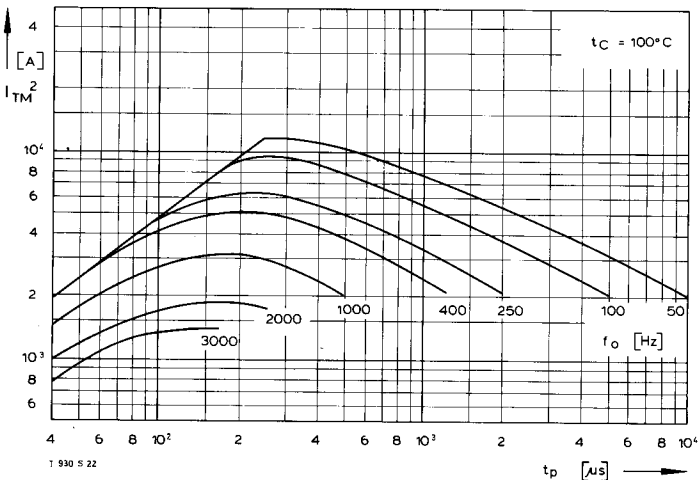
# T 930 S



Bild/Fig. 1



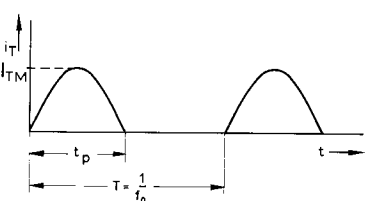
Bild/Fig. 2



Bild/Fig. 3

Bild/Fig. 1, 2, 3  
Steuergenerator/pulse generator:  
 $i_G = 1,2 \text{ A}$ ,  $d i_G/dt = 1,2 \text{ A}/\mu\text{s}$

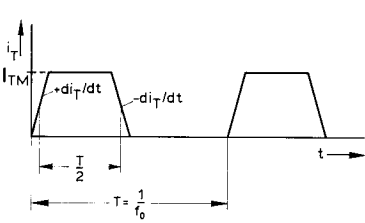
RC-Glied/RC-network:  
 $R [\Omega] \geq 0,02 V_{DM} [\text{V}]$   
 $C \leq 0,33 \mu\text{F}$   
 $V_{DM} \leq 0,67 V_{DRM}$

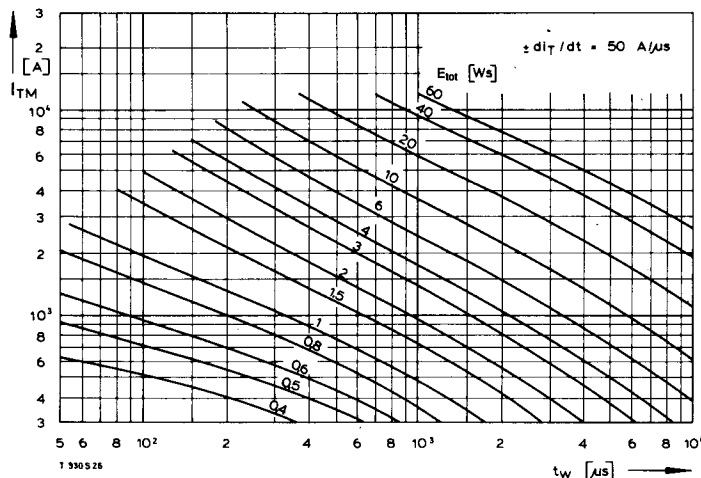


Bild/Fig. 6

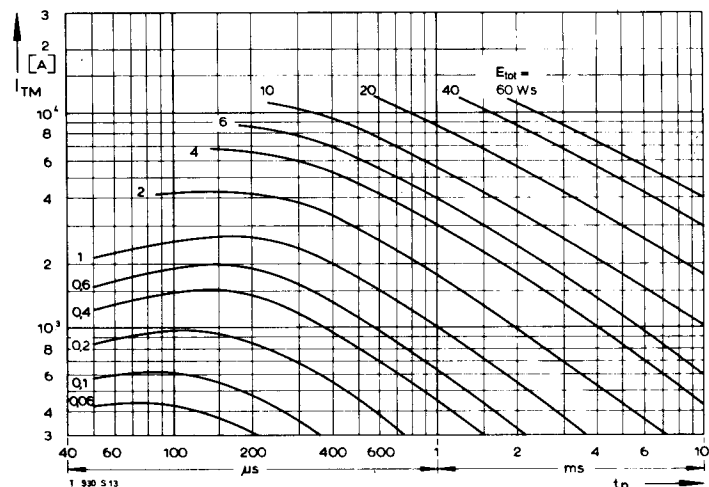
Bild/Fig. 4, 5, 6  
Steuergenerator/pulse generator:  
 $i_G = 1,2 \text{ A}$ ,  $d i_G/dt = 1,2 \text{ A}/\mu\text{s}$

RC-Glied/RC-network:  
 $R [\Omega] \geq 0,02 V_{DM} [\text{V}]$   
 $C \leq 0,47 \mu\text{F}$   
 $V_{DM} \leq 0,67 V_{DRM}$   
 $dV_R/dt \leq 600 \text{ V}/\mu\text{s}$   
 $V_{RM} \leq 0,67 V_{RRM}$

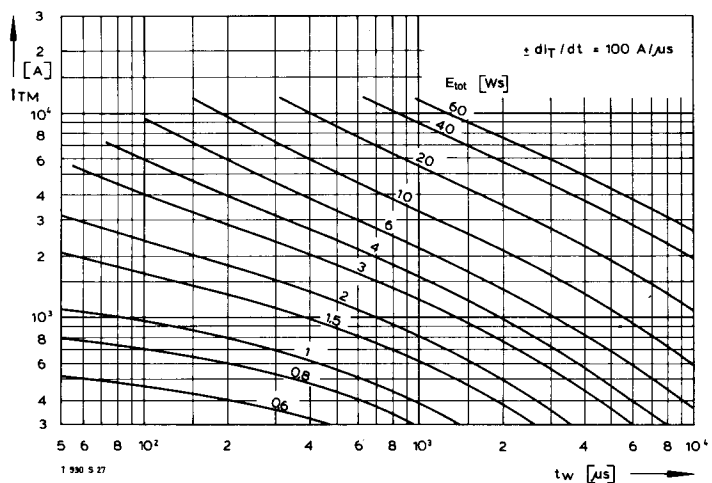




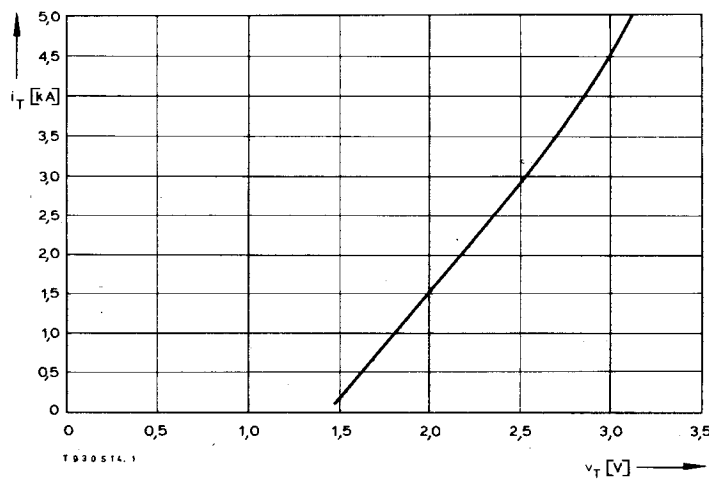
Bild/Fig. 10



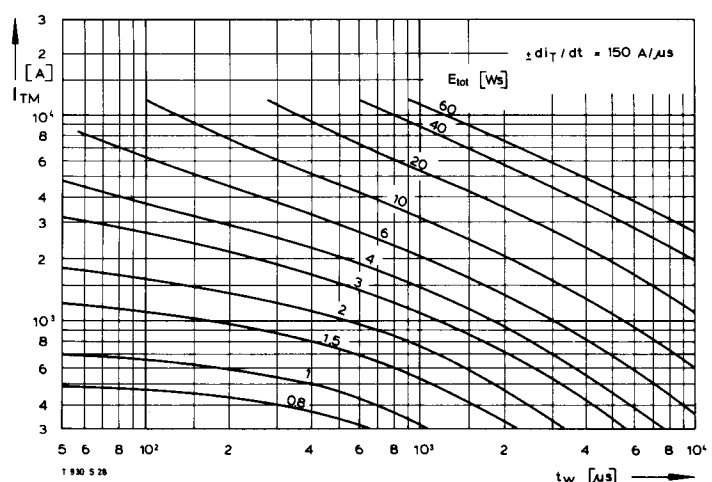
Bild/Fig. 13



Bild/Fig. 11



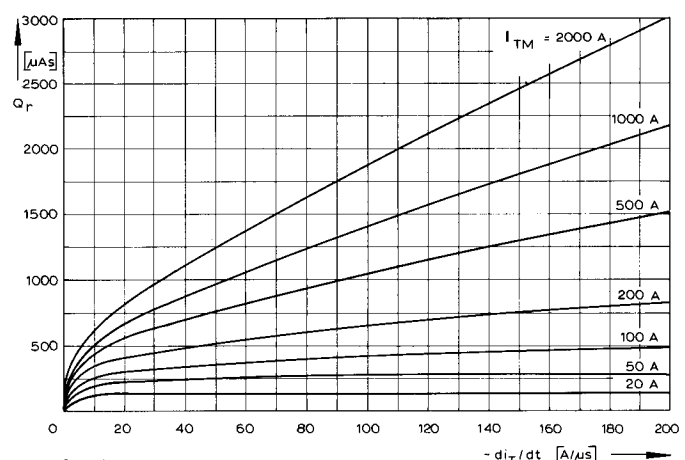
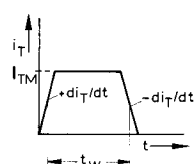
Bild/Fig. 14



Bild/Fig. 12

Bild/Fig. 10, 11, 12  
Steuergenerator/pulse generator:  
 $i_G = 1,2 \text{ A}$ ,  $di_G/dt = 1,2 \text{ A}/\mu\text{s}$

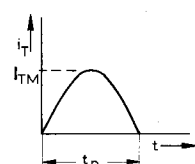
RC-Glied/RC-network:  
 $R [\Omega] \geq 0,02 V_{DM} [\text{V}]$   
 $C \leq 0,47 \mu\text{F}$   
 $V_{DM} \leq 0,67 V_{RRM}$   
 $dv_F/dt \leq 700 \text{ V}/\mu\text{s}$   
 $V_{RM} \leq 0,67 V_{RRM}$

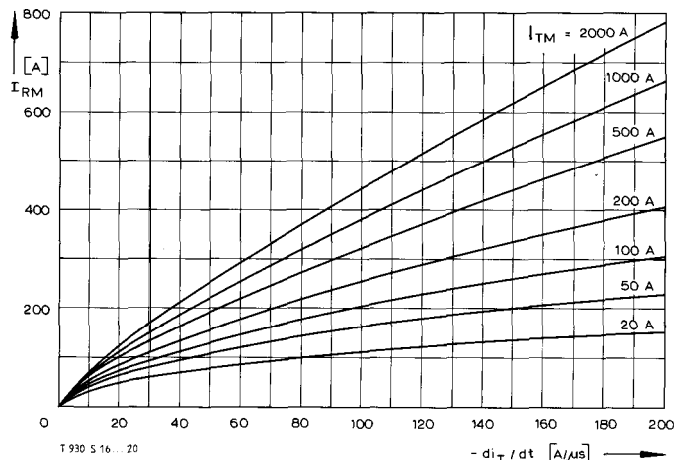


Bild/Fig. 15

(zu Bild/Fig. 13)  
Steuergenerator/pulse generator:  
 $i_G = 1,2 \text{ A}$ ,  $di_G/dt = 1,2 \text{ A}/\mu\text{s}$

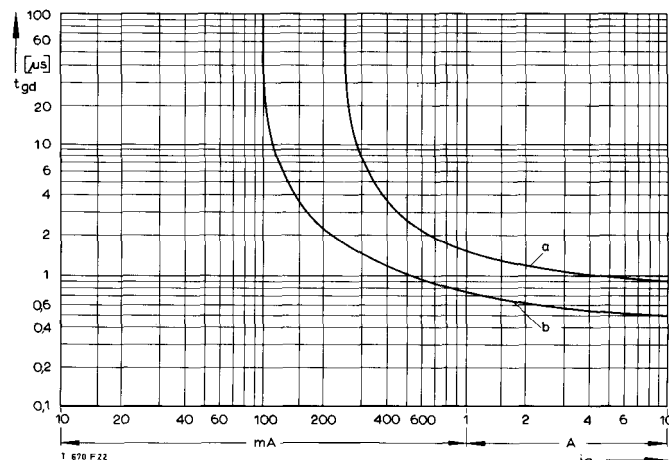
RC-Glied/RC-network:  
 $R [\Omega] \geq 0,02 V_{DM} [\text{V}]$   
 $C \leq 0,33 \mu\text{F}$





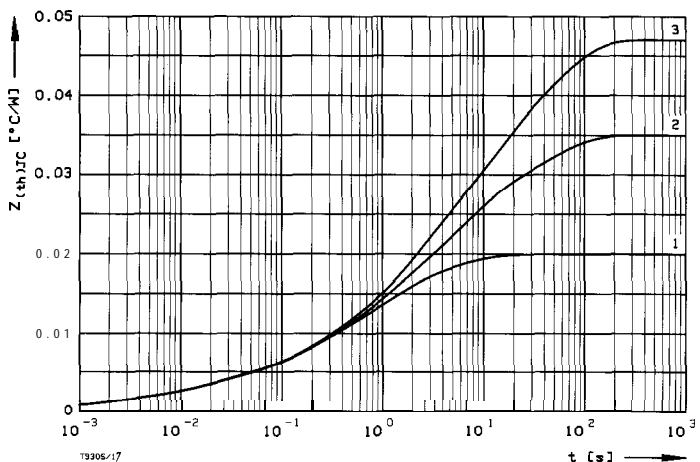
BildlFig. 16

Rückstromspitze  $I_{RM} = f(-di/dt)$ ,  $t_{vj} = t_{vj(max)}$ ,  $V_R = 0.5 V_{RRM}$ ,  $V_{RM} = 0.8 V_{RRM}$   
 Peak reverse recovery current  $I_{RM} = f(-di/dt)$ ,  $t_{vj} = t_{vj(max)}$ ,  $V_R = 0.5 V_{RRM}$ ,  $V_{RM} = 0.6 V_{RRM}$   
 Parameter: Durchlaßstrom/On-state current  $I_{TM}$



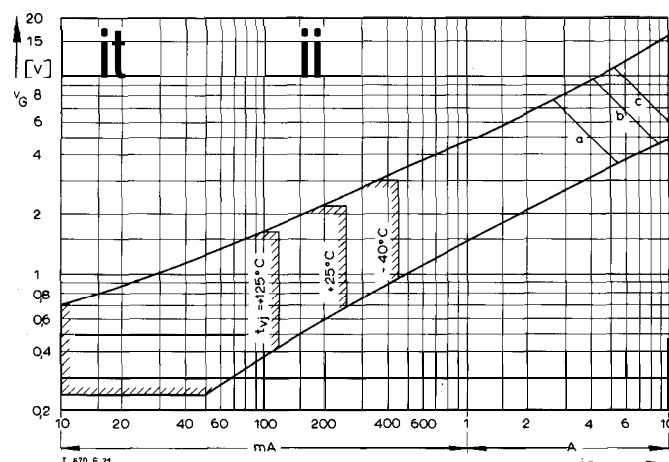
BildlFig. 16

Zündverzug/Gate controlled delay time  $t_{gd} = f(i_{GM})$ ,  $t_{vj} = 25^\circ C$ ,  $di_G/dt = i_{GM}/1 \mu s$   
 a - Maximaler Verlauf/Limiting Characteristic  
 b - Typischer Verlauf/Typical Characteristic



BildlFig. 17

Transient innerer Wärmewiderstand  $Z_{thJC} = f(t)$ , DC  
 Transient thermal impedance  $Z_{thJC} = f(t)$ , DC  
 1 Beidseitige Kühlung/two-sided cooling  
 2 Anodenseitige Kühlung/anode side cooling  
 3 Kathodenseitige Kühlung/cathode side cooling



BildlFig. 19

Steuercharakteristik mit Zündbereichen/Gate Characteristic with triggering areas  
 $V_G = f(i_G)$ ,  $V_D = 12 V$

Parameter:	a	b	c
Steuerimpulsdauer/Trigger pulse duration $t_g$ [ms]	10	1	0,5
Höchstzulässige Spitzensteuerverlustleistung/ Max. rated peak gate power dissipation $P_{GM}$ [W]	20	40	60

Analytische Elemente des transienten Wärmewiderstandes  $Z_{thJC}$  für DC  
 Analytical elements of transient thermal impedance  $Z_{thJC}$  for DC

Kühlung cooling	Pos. n	1	2	3	4	5	6	7
beidseitig two-sided	$R_{thn} [\text{°C/W}]$	0,00114	0,00224	0,00487	0,00749	0,00426		
	$\tau_n [s]$	0,0014	0,015	0,17	1,05	5,1		
anodenseitig anode-sided	$R_{thn} [\text{°C/W}]$	0,00106	0,00239	0,004	0,00725	0,0116	0,0087	
	$\tau_n [s]$	0,0013	0,015	0,16	0,9	5,8	44	
kathodenseitig cathode-sided	$R_{thn} [\text{°C/W}]$	0,00106	0,00245	0,00499	0,0116	0,0127	0,0142	
	$\tau_n [s]$	0,0013	0,015	0,19	1,7	10,2	53,5	

Analytische Funktionanalyhal funchon:

$$Z_{thJC} = \sum_{n=1}^{n_{\max}} R_{thn} (1 - \exp(-t/\tau_n))$$